

長崎大学工学部 正員・高橋和雄

川田工業(株)

藤本一人

鉄道建設公団

戸田和文

1. 緒言 ケーブルの動特性を明らかにするためには、幾何学的非線形性を考慮した取扱いが不可欠であるが、ケーブルの非線形振動挙動に関する研究は着手された段階にあり、未解決の問題が数多く残されている。そこで本研究は山口ら¹⁾によて誘導された連続体としての非線形運動方程式を著者らがはりおよび薄板の非線形振動の解析に用いた手法²⁾を用いて解析するものである。本研究ではまず面内非線形振動を各種のパラメータのもとに解析するものである。

2. 運動方程式及び解法 図-1に示すようなケーブルの面内振動の運動方程式は次のように与えられる¹⁾。

$$\begin{aligned} L_1(u,v) = & \frac{\partial u}{\partial t^2} - \frac{\partial^2}{\partial x_e^2} \left\{ \left(C_0 \frac{\partial^2}{\partial x_e^2} + C_1 x_e^2 \right) \frac{\partial^2 u}{\partial x_e^2} + C_1^2 x_e^4 \frac{\partial^2 v}{\partial x_e^2} \right\} - C_1^2 \frac{\partial^2}{\partial x_e^2} \left[x_e \frac{\partial u}{\partial x_e} \right. \\ & \left. + y_e \frac{\partial v}{\partial x_e} \right] \frac{\partial u}{\partial x_e} + \frac{1}{2} \left\{ \left(\frac{\partial u}{\partial x_e} \right)^2 + \left(\frac{\partial v}{\partial x_e} \right)^2 \right\} \left(x_e + \frac{\partial u}{\partial x_e} \right) - \frac{p_x \cos \omega t}{\rho_0} = 0 \quad (1) \end{aligned}$$

$$\begin{aligned} L_2(u,v) = & \frac{\partial^2 v}{\partial t^2} - \frac{\partial^2}{\partial x_e^2} \left\{ \left(C_0 \frac{\partial^2}{\partial x_e^2} + C_1^2 y_e^2 \right) \frac{\partial^2 v}{\partial x_e^2} + C_1^2 x_e^2 y_e \frac{\partial^2 u}{\partial x_e^2} \right\} - C_1^2 \frac{\partial^2}{\partial x_e^2} \left[x_e \frac{\partial u}{\partial x_e} \right. \\ & \left. + y_e \frac{\partial v}{\partial x_e} \right] \frac{\partial v}{\partial x_e} + \frac{1}{2} \left\{ \left(\frac{\partial u}{\partial x_e} \right)^2 + \left(\frac{\partial v}{\partial x_e} \right)^2 \right\} \left(y_e + \frac{\partial v}{\partial x_e} \right) - \frac{p_y \cos \omega t}{\rho_0} = 0 \quad (2) \end{aligned}$$

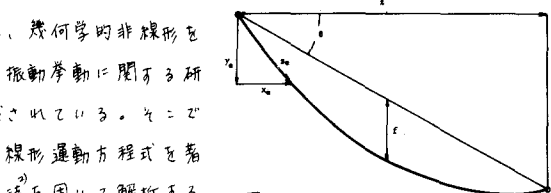


図-1 Geometry of cable

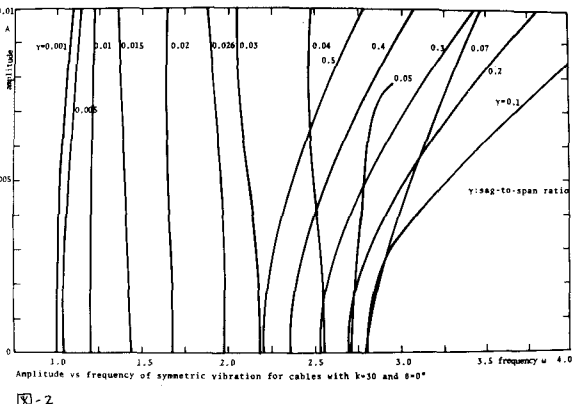


図-2

ここで、 u, v ：ケーブルの面内水平変位、鉛直変位、 t ：時間、 Δe ：ケーブルの初期形状に沿う曲線座標、 C_0, C_1 ：ケーブルの横波、縦波伝播速度、 p_x, p_y ：荷重強度、 ω ：外力の円振動数、 $\{x_e, y_e, 0\}$ ：ケーブルの初期形状、また、図-1において、 θ ：ケーブルの傾斜角、 τ ：ケーブルサワ

式(1), (2)の解を次のように変数分離形に仮定する。

$$U = \sum_{i=1}^{\infty} P_i(t) U_i(x_e), \quad V = \sum_{i=1}^{\infty} P_i(t) V_i(x_e) \quad (3)$$

ここに、 $U_i = \sum_{n=1}^{\infty} P_{ni} \sin \frac{n\pi x_e}{l}$, $V_i = \sum_{n=1}^{\infty} P_{yi} \sin \frac{n\pi x_e}{l}$: 面内線形振動の第*i*次振動形、 l : 初期ケーブル長

式(3)を式(1), (2)に代入して Galerkin 法を適用すれば、 P_n について次の連立非線形常微分方程式がえられる。

$$m_n \ddot{P}_n + \frac{1}{2} \sum_{i,j,k} k_{ijk} f_{ijk}^X + \frac{1}{2} \sum_{i,j,k} k_{ijk} f_{ijk}^Y + k_{ij}^2 P_i P_j P_k = p_n \cos \omega t \quad (4)$$

ここに、 $k = C_0/C_1$: ケーブルの縦波 - 横波伝播速度比

$$式(4)の解を次のように Fourier 級数に仮定する。 $P_n = \sum_{m=1}^{\infty} a_m^n \cos m\omega t \quad (5)$$$

式(5)を式(4)に代入して調和拍バランス法を適用すれば次式を得る。

$$-m_n m^2 \omega^2 a_m^n + \sum_{i,j} k_{ijk} a_m^i + k^2 \sum_{i,j} k_{ijk} f_{ijk}^X + \frac{1}{2} \sum_{i,j,k} k_{ijk} f_{ijk}^Y = p_n s_{1,n} \quad (6)$$

ここに、 f_{ijk}^X, f_{ijk}^Y : a_i^X, a_j^Y の関数

上式の解は Newton-Raphson 法の繰り返し計算を用いてえることができる。

3. 解析結果 (1) 非線形自由振動 図-2 は水平ケーブルの $k=30$ の場合の非線形自由振動数比 ω と振幅比 A (ケーブル中央点の $t=0$ の変位/ l) との関

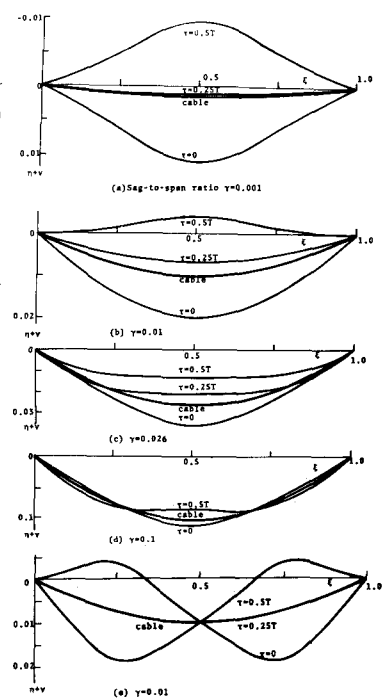
Deformed shapes of nonlinear free vibrations for cables with $k=30$ and $\theta=0^\circ$

図-3

係をサグ比 γ をパラメータにプロットしたものである。サグ比が小さく強に近い場合や振動形が遷移した後のサグ比(γ) >0.05 が大きい場合では3次の非線形項が支配的で硬化ばね特性を示す。振動形の遷移領域($0.015 < \gamma < 0.04$)では2次の非線

図-4

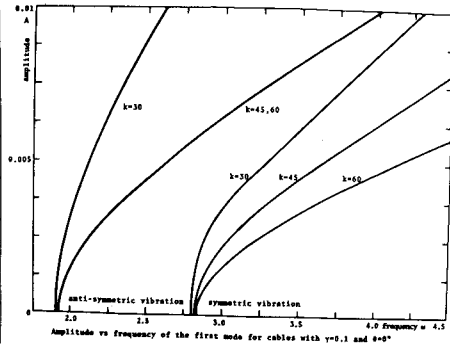
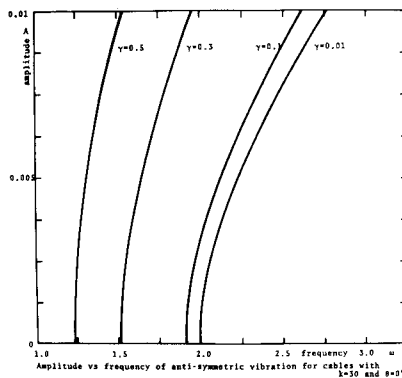


図-5

形項が支配的な

軟化ばね特性を示す。本例につ

いてケーブルの

初期形状 y_0 と船

直変位 u の時間

的変動を合成す

れば、図3に示

すとおりである。

図4は水平ケー

ブルの逆対称振

動の振動数比 ω と振幅比 A との関係をプロットしたものであるが、サグ比と無関係に硬化ばね特性を示す。図5はサグ比 $\gamma=0.1$ の対称・逆対称振動に及ぼす伝播速度比 k の影響を示したものである。

角の増大とともに非線形性が大きくなる。

図6はケーブルの非線形振動に及ぼす傾斜角 θ の影響を示したものである。サグ比が小さい領域では水平ケーブルの対称振動に、サグ比が大きい領域では水平ケーブルの逆対称振動に対応するものである。傾斜角の増大とともに非線形性が減少する。

(2) 非線形強制振動 図8, 9は水平ケーブル($\gamma=0.1, k=30$)の対称および逆対称加振の最低次の固有振動数近傍の応答曲線である。図中の実線は荷重と同位相と応答、点線は逆位相の応答を表す。対称加振の場合には3次の非線形項の他に2次の非線形項の影響が効いてくるために、偶数次の高調波共振が生じている。

参考文献 ①山口ら：土木学会論文報告集，第286号，1979。 ②高橋ら：土木学会論文報告集，第293号，1980。

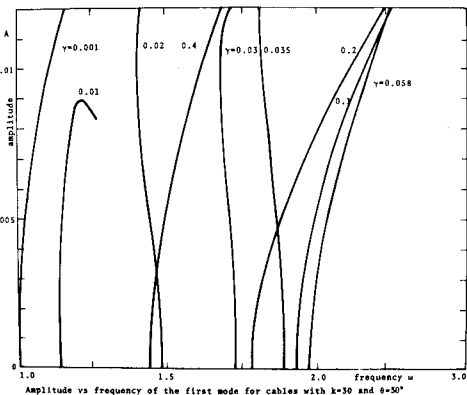


図-6

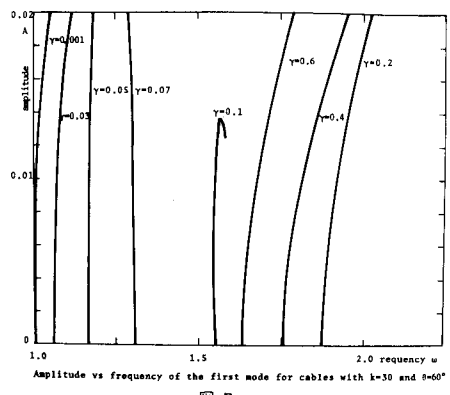


図-7

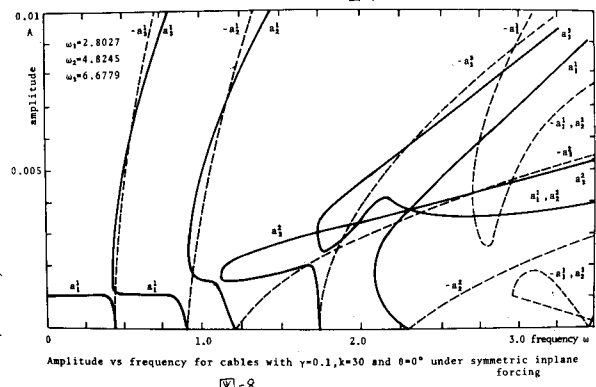


図-8

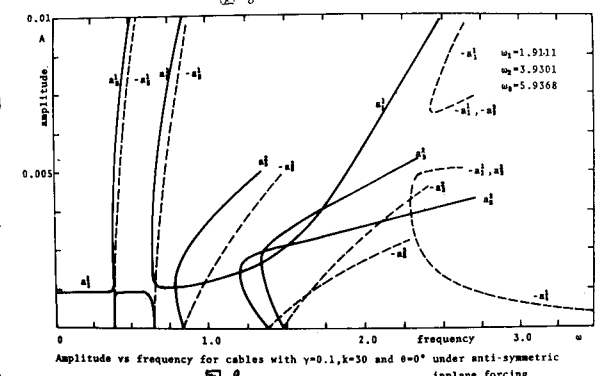


図-9